

連続矩形板の振動解析

九州大学 正員 山崎徳也

〃 学生員 ○横田 漢

1. 緒言 工木構造物の設計において、しばしば静荷重のみならず動荷重とも考慮すべき場合が多いが、算定法の複雑化もあって一般には動荷重の影響を厳密には算定せず等価静荷重、衝撃係数などは安全率の修正などによつて換算考慮してゐる。しかしながら近來 各種長大スパン橋梁やラーメンを主体とした高速道路橋の普及および構造物の耐震性の改良などに迫られて、動荷重の影響をより厳密に評価すべき時点に至つてゐる。かゝる観点より、著者らも振動に関する一連の研究を行つておるが、本論文は先の連続矩形板の固有周期算定法⁽¹⁾に引きつづき、連続板に周期的等分布荷重が作用する場合の強制振動を文献(2)と同様、振動式のみ角一端モーメント関係式を用いて解析し、その定常状態および過渡状態を調べたものである。

2. 解法 (1)板の弾性曲面 余弦函数の形で与えられる外力を受ける等方性平面板の振動の微分方程式は一般に次式で表わされる。

$$\Delta \Delta w + \frac{8h}{D} \frac{\partial^2 w}{\partial t^2} = \frac{8}{D} f(x, y) \cos pt \quad (1)$$

ただし Δ : Laplace Operator, w : 任意点 (x, y) における時刻の板のひずみ
 h : 板厚, p : 板の密度, D : 板剛度, f : 外力の円振動数

f : 定数, $f(x, y)$: 外力の板面における分布荷重を表す任意函数
式(1)の余函数を \bar{w}_1 , 特殊解を \bar{w}_2 としそれを次式で仮定する。

$$\bar{w}_1 = w_1 \cos wt \quad (2) \quad \bar{w}_2 = w_2 \cos pt \quad (3)$$

ただし w は板の固有円振動数であり, w_1, w_2 は x, y のみの函数である。

これを式(1)の一般解に次式で与えられる。
式(2)を式(1)の一次方程式に代入すれば次式をうる。
式(3)を式(1)の二次方程式に代入すれば次式をうる。

$$w = \bar{w}_1 + \bar{w}_2 = w_1 \cos wt + w_2 \cos pt \quad (4)$$

$$\Delta \Delta \bar{w}_1 - \frac{8h}{D} p^2 \bar{w}_1 = 0 \quad (5)$$

また式(3)を式(1)に代入すれば次式をうる。
いま、図-1に示すごく周辺単純支承の矩形板において辺Cと x 軸, 辺Aと y 軸とし, 辺C, Dと辺A, Bの長さをそれぞれ a, b とする。これから自由振動および定常状態における強制振動の解を与えるべき式(5)および(6)の解はそれを次の二つとくえられる。

i) 自由振動. 文献(1)より $w_i = \sum_{m=1}^{\infty} X_{im}(t) \sin m \pi \xi + \sum_{n=1}^{\infty} Y_{in}(t) \sin n \pi \eta, \xi = \frac{x}{a}, \eta = \frac{y}{b}, t = \frac{\theta}{\omega}, \omega = \frac{\pi}{a} \sqrt{\frac{E}{D}}$ (7)

ただし $X_{im}(t) = A_{im} \sinh \pi m \xi \sinh \pi n \eta + B_{im} \cosh \pi m \xi \sinh \pi n \eta + C_{im} \sinh \pi m \xi \cosh \pi n \eta + D_{im} \cosh \pi m \xi \cosh \pi n \eta, \lambda_m^2 = \frac{\pi^2}{E} \mu_m^2, \lambda_n^2 = \frac{\pi^2}{D} \mu_n^2, \mu_m^2 = \frac{m^2 \pi^2}{a^2}, \mu_n^2 = \frac{n^2 \pi^2}{b^2}$

$Y_{in}(t) = A_{in} \sinh \pi m \xi \cosh \pi n \eta + B_{in} \cosh \sinh \pi m \xi \cosh \pi n \eta + C_{in} \sinh \pi m \xi \sinh \pi n \eta + D_{in} \cosh \pi m \xi \sinh \pi n \eta, \lambda_m^2 = E m^2 + \mu_m^2, \lambda_n^2 = E n^2 + \mu_n^2, \mu_m^2 = \frac{m^2 \pi^2}{a^2}, \mu_n^2 = \frac{n^2 \pi^2}{b^2}$

上式において, $A_{im}^X \sim D_{im}^X, A_{in}^Y \sim D_{in}^Y$ は積分定数であり, 図-1に示すごとく板の周辺端モード一人と $M_A \sim M_B$ が作用し, 支承端下 $\bar{J}_A \sim \bar{J}_B$ の場合は次式で与えられる。(文献(1)参照)

$$\begin{aligned} A_{im}^X &= \frac{-\alpha^2}{\pi^2(\lambda_m^2 - \lambda_n^2) \sinh \pi m \xi} \left\{ \frac{\cosh \pi m \xi M_{An} + M_{Bn}}{D} - \pi^2 \left(\frac{\lambda_m^2}{a^2} - \nu \frac{\lambda_n^2}{b^2} \right) (\delta_{Bn} - \cosh \pi m \xi \delta_{An}) \right\} \\ B_{im}^X &= \frac{\alpha^2}{\pi^2(\lambda_m^2 - \lambda_n^2)} \left\{ \frac{M_{An}}{D} + \pi^2 \left(\frac{\lambda_m^2}{a^2} - \nu \frac{\lambda_n^2}{b^2} \right) \delta_{An} \right\} \\ C_{im}^X &= \frac{-\alpha^2}{\pi^2(\lambda_m^2 - \lambda_n^2) \sinh \pi m \xi} \left\{ \frac{\cosh \pi m \xi M_{An} + M_{Bn}}{D} - \pi^2 \left(\frac{\lambda_m^2}{a^2} - \nu \frac{\lambda_n^2}{b^2} \right) (\delta_{Bn} - \cosh \pi m \xi \delta_{An}) \right\} \\ D_{im}^X &= \frac{\alpha^2}{\pi^2(\lambda_m^2 - \lambda_n^2) \sinh \pi m \xi} \left\{ \frac{M_{An}}{D} + \pi^2 \left(\frac{\lambda_m^2}{a^2} - \nu \frac{\lambda_n^2}{b^2} \right) \delta_{An} \right\} \\ A_{in}^Y &= \frac{-\alpha^2}{\pi^2(\lambda_m^2 - \lambda_n^2) \sinh \pi m \xi} \left\{ \frac{\cosh \pi m \xi M_{An} + M_{Bn}}{D} - \pi^2 \left(\frac{\lambda_m^2}{a^2} - \nu \frac{\lambda_n^2}{b^2} \right) (\delta_{Bn} - \cosh \pi m \xi \delta_{An}) \right\} \end{aligned} \quad (8)$$

$$B_m^Y = \frac{\epsilon^2}{\pi^2(\lambda_m^2 - \lambda_{m'}^2)} \left\{ \frac{M_m}{D} + \pi^2 \left(\frac{\lambda_m^2}{\epsilon^2} - \nu \frac{\lambda_m^2}{\epsilon^2} \right) S_m \right\}$$

$$C_m^Y = \frac{-\epsilon^2}{\pi^2(\lambda_m^2 - \lambda_{m'}^2) \sinh \pi \lambda_m^2} \left\{ \frac{\nu \sinh \pi \lambda_m^2 M_m + N_m}{D} - \pi^2 \left(\frac{\lambda_m^2}{\epsilon^2} - \nu \frac{\lambda_m^2}{\epsilon^2} \right) (S_m - \cosh \pi \lambda_m^2 C_m) \right\}$$

$$D_m^Y = \frac{\epsilon^2}{\pi^2(\lambda_m^2 - \lambda_{m'}^2)} \left\{ \frac{M_m}{D} + \pi^2 \left(\frac{\lambda_m^2}{\epsilon^2} - \nu \frac{\lambda_m^2}{\epsilon^2} \right) C_m \right\}$$

ここで $M_m \sim M_m$ が ω と $S_m \sim S_m$ はそれが強モードとし $M_m \sim M_m$ および支承端下 $\eta_1 \sim \eta_0$ を正弦フーリエ級数に展開した場合の展開係数である。

いま、規準未知数を M_{11} とし、これに対する諸未知数 $M_m, M_m, \dots, S_m, S_m, \dots$ および種分定数 $A_m^Y, B_m^Y, \dots, A_m^X, B_m^X, \dots$ との比をすべて 1 記号を付して表わせば、結局式は次式の形とく与えられる。

$$\bar{w}_1 = w_1 \cos \omega t = M_{11} w_1 \cos \omega t \quad \text{ただし } w_1 = \sum_{n=1}^{\infty} X_{1n}(\eta) \sin n \pi \eta + \sum_{m=1}^{\infty} Y_{1m}(\eta) \sin m \pi \eta \quad (1)$$

$$\therefore K \quad X_{1n}(\eta) = A_{1n}^X \sinh \pi \lambda_n^2 \eta + B_{1n}^X \cosh \pi \lambda_n^2 \eta + C_{1n}^X \sinh \pi \lambda_n^2 \eta + D_{1n}^X \cosh \pi \lambda_n^2 \eta$$

$$Y_{1m}(\eta) = A_{1m}^Y \sinh \pi \lambda_m^2 \eta + B_{1m}^Y \cosh \pi \lambda_m^2 \eta + C_{1m}^Y \sinh \pi \lambda_m^2 \eta + D_{1m}^Y \cosh \pi \lambda_m^2 \eta$$

なお、 M_m は $M_m (n=1, 2, 3, \dots)$ の第一項であり、その値は iii) に示すごとく初期条件より定まるものである。

i) 強制振動 (定常状態) : i) と同様の考察より式が次式の形とく求められる。

$$w_2 = \sum_{n=1}^{\infty} X_{2n}(\eta) \sin n \pi \eta + \sum_{m=1}^{\infty} Y_{2m}(\eta) \sin m \pi \eta + \sum_{m=1}^{\infty} \sum_{n=1}^{\infty} C_{mn} \sin m \pi \eta \sin n \pi \eta \quad (2)$$

$$\text{ただし } X_{2n}(\eta) = A_{2n}^X \sinh \pi \lambda_n^2 \eta + B_{2n}^X \cosh \pi \lambda_n^2 \eta + C_{2n}^X \sinh \pi \lambda_n^2 \eta + D_{2n}^X \cosh \pi \lambda_n^2 \eta, \lambda_n^2 = \frac{\nu^2}{\epsilon^2} + \mu_p, \lambda_p^2 = \frac{\nu^2}{\epsilon^2} - \mu_p, \mu_p = \frac{P}{R^2} \frac{\partial^2 \bar{w}}{\partial \eta^2}$$

$$Y_{2m}(\eta) = A_{2m}^Y \sinh \pi \lambda_m^2 \eta + B_{2m}^Y \cosh \pi \lambda_m^2 \eta + C_{2m}^Y \sinh \pi \lambda_m^2 \eta + D_{2m}^Y \cosh \pi \lambda_m^2 \eta, \lambda_m^2 = \frac{\nu^2}{\epsilon^2} + \mu_p, \lambda_p^2 = \frac{\nu^2}{\epsilon^2} - \mu_p, \mu_p = \frac{P}{R^2} \frac{\partial^2 \bar{w}}{\partial \eta^2}$$

$$C_{mn} = \frac{E_m^2}{D} C_{mn}, \quad C'_{mn} = \frac{R_m}{(\nu^2 + n^2 \pi^2)^{1/2} \lambda_p^2}, \quad R_m = 4 \int_0^{\pi} f(\eta, \eta) \sin m \pi \eta \sin n \pi \eta d\eta d\eta$$

式(2)における種分定数 $A_m^Y \sim D_m^Y$, $A_m^X \sim D_m^X$ は式(8)と全く同じ式形で与えられ、单に w の代り w_2 とし、
従って $\lambda_n, \lambda_m, \lambda_n, \lambda_m$ の代り $\lambda_n, \lambda_m, \lambda_n$ を代入すればよい。

ii) 強制振動 (過渡状態) : 温度状態における振動は一般に自由振動と強制振動の重ね合せ、可
能なうちは(4)の形で与えられるが、いま式(4)を用いて変形すれば次式をうる。

$$w = M_{11} w_1 \cos \omega t + w_2 \cos \omega t \quad (11)$$

(式(1)において $M_{11} w_1 \cos \omega t$ は各規準振動の初値をもつ $M_{11} w_1 \cos \omega t$ と表わすべきだが、井口氏の研究
によれば、原音 ($\omega = 1$) 以外のならう $\omega \geq 2$ の上音はその影響が小さいと認められて省略する。)

他方、初期条件が次の形とく与えられるものとする。 $t = 0; \quad w = F(\eta, \eta) \quad (12)$

式(1), (12)より次式をうる。 $M_{11} w_1 + w_2 = F(\eta, \eta) \quad (13)$

いま、式(9)および式(10)を含む $X_{1n}(\eta), Y_{1m}(\eta), X_{2n}(\eta), Y_{2m}(\eta)$ をそれぞれ正弦フーリエ級数に展
開すれば、 w_1, w_2 はそれが次式の形とく表わされる。

$$w_1 = \sum_{n=1}^{\infty} \sum_{m=1}^{\infty} E_{1nm} \sin m \pi \eta \sin n \pi \eta + \sum_{n=1}^{\infty} \sum_{m=1}^{\infty} E_{1nm} \sin m \pi \eta \sin n \pi \eta \quad (14)$$

$$w_2 = \sum_{n=1}^{\infty} \sum_{m=1}^{\infty} E_{2nm} \sin m \pi \eta \sin n \pi \eta + \sum_{n=1}^{\infty} \sum_{m=1}^{\infty} E_{2nm} \sin m \pi \eta \sin n \pi \eta + \sum_{m=1}^{\infty} \sum_{n=1}^{\infty} C_{mn} \sin m \pi \eta \sin n \pi \eta \quad (15)$$

また、 $F(\eta, \eta)$ を二重正弦フーリエ級数に展開すれば次式をうる。

$$F(\eta, \eta) = \sum_{m=1}^{\infty} \sum_{n=1}^{\infty} G_{mn} \sin m \pi \eta \sin n \pi \eta \quad (16)$$

$\therefore K, E_{1nm}^Y, E_{1nm}^X$ はそれが M_m, M_m, S_m, S_m および M_m, M_m, S_m, S_m の函数であり、 E_{2nm}^Y, E_{2nm}^X はそれが ii) の強制振動における M_m, M_m, S_m, S_m および M_m, M_m, S_m, S_m の函数であるが、そ
の諸式は紙面の都合上省略する。

式(14), (15), (16)を式(13)に代入すれば未定係数 M_{11} が次の形とく算定される。

$$M_{11} = \frac{E_{11m} - (E_{21m} + C_{11})}{E_{11m}} \quad (n, m = 1, 2, 3, \dots) \quad (17)$$

$$\text{ただし } E_{21m} = E_{21m}^x + E_{21m}^y, \quad E_{11m} = E_{11m}^x + E_{11m}^y$$

式(17)の右辺は n, m の任意の値に対して計算されるが、その値は以下の定義 M_{11K} 等しい。したがって実際の計算では $n=m=1$ の場合について M_{11} を決定すればよることとなり、以下その結果を用いて入力すれば、自由振動に関する式が求められることとなる。

また、式(17)を式(16)に代入すれば過渡状態における ω が当然次式の ω とくわめて等しい。

$$\omega = \omega_0 (\cos \omega t - \sin \omega t) + F(t, x) \cos \omega t \quad (18)$$

(2) 振動伝わり角一端モーメント関係式

i) の強制振動に関する振動伝わり角一端モーメント関係式は文献(i)の自由振動に関する式 ω の代り ω を代入し、また荷重項を加えれば以下のように、結果のみを示せば次式の ω とくわめて等しい。

$$\begin{aligned} B_{1m} &= \frac{a}{D} \{ A_{11m} M_{11m} + B_{11m} M_{21m} \} + \frac{a}{D} \sum_{n=1}^{\infty} E_{11m,n} \{ M_{11m} + (-)^n M_{21m} \} + \frac{1}{a} \{ C_{11m} \delta_{11m} + D_{11m} \delta_{21m} \} + \frac{1}{a} \sum_{m=1}^{\infty} F_{11m,m} \{ S_{11m} - (-)^m C_{11m} \} + \sum_{m=1}^{\infty} \frac{m\pi}{a} C_{11m} \\ B_{2m} &= \frac{a}{D} \{ B_{11m} M_{11m} + A_{11m} M_{21m} \} + \frac{a}{D} \sum_{n=1}^{\infty} (-)^n E_{11m,n} \{ M_{11m} + (-)^n M_{21m} \} - \frac{1}{a} \{ D_{11m} \delta_{11m} + C_{11m} \delta_{21m} \} + \frac{1}{a} \sum_{m=1}^{\infty} F_{11m,m} \{ C_{11m} - (-)^m D_{11m} \} + \sum_{m=1}^{\infty} \frac{m\pi}{a} B_{11m} \\ C_{1m} &= \frac{a}{D} \sum_{n=1}^{\infty} E'_{11m,n} \{ M_{11m} + (-)^n M_{21m} \} + \frac{a}{D} \{ A'_{11m} M_{11m} + B'_{11m} M_{21m} \} + \frac{1}{a} \sum_{n=1}^{\infty} F'_{11m,n} \{ S_{11m} - (-)^n C_{11m} \} + \frac{1}{a} \{ C'_{11m} \delta_{11m} + D'_{11m} \delta_{21m} \} + \sum_{n=1}^{\infty} \frac{m\pi}{a} C_{11m} \\ D_{1m} &= \frac{a}{D} \sum_{n=1}^{\infty} F'_{11m,n} \{ M_{11m} + (-)^n M_{21m} \} + \frac{a}{D} \{ B'_{11m} M_{11m} + A'_{11m} M_{21m} \} + \frac{1}{a} \sum_{n=1}^{\infty} F'_{11m,n} \{ C_{11m} - (-)^n D_{11m} \} - \frac{1}{a} \{ D'_{11m} \delta_{11m} + C'_{11m} \delta_{21m} \} + \sum_{n=1}^{\infty} \frac{m\pi}{a} D_{11m} \end{aligned}$$

(3) 節線方程式および連続条件式 連続板の節線上の節線方程式および連続条件式は文献(i)と全く同様であり、それと次式で与えられる。(文献(i)参照)

$$\text{節線方程式: } M_{11m} + M_{21m} = 0 \quad (20), \quad \text{連続条件式: } \delta_{1km} = \delta_{2km} \quad (21)$$

いま、ii) の強制振動に関する連続板の解をうなげば、文献(i)の自由振動における手法と同様に考えて、連続板の各節線上における式(16)の振動伝わり角一端モーメント関係式、式(ii)の連続条件式、式(20)の節線方程式および端辺の条件式を連立して解いて未知数 M_{11m}, M_{21m} を求めねばよい。

3. 計算例 図-2 は天井と壁間に単純支承の 2×2 等スパン二方向連続板について、周期的等分布荷重 $p_0 \cos \omega t$ が板①, ④に作用する場合について、定常状態における振動倍率 ω よび過渡状態における時刻と伝わりの関係を求むれば次の通りである。

いすれの支承を沈下しないものとすれば $\delta_{11m} \sim \delta_{21m}, \delta_{12m} \sim \delta_{22m}, \delta_{13m} \sim \delta_{23m}$, $\delta_{14m} \sim \delta_{24m}$ はすべて 0 である。また、周辺の単純支承条件より $M_{11m} = M_{21m} = M_{12m} = M_{22m} = M_{13m} = M_{23m} = M_{14m} = M_{24m} = 0$ である。したがって板①, ②,

③, ④に関する式(16)の振動伝わり角一端モーメント関係式は次式の内容となる。

$$\begin{aligned} \text{板①, } \delta_{11m} &= \frac{a}{D} A_{11m} M_{11m} + \frac{a}{D} \sum_{n=1}^{\infty} (-)^n E_{11m,n} M_{21m} + \sum_{m=1}^{\infty} \frac{m\pi}{a} C_{11m}, \quad \delta_{21m} = \frac{a}{D} \sum_{n=1}^{\infty} (-)^n E'_{11m,n} M_{11m} + \frac{a}{D} A'_{11m} M_{21m} + \sum_{m=1}^{\infty} (-)^m C_{11m} \\ \text{板②, } \delta_{12m} &= \frac{a}{D} A_{12m} M_{12m} + \frac{a}{D} \sum_{m=1}^{\infty} (-)^m E_{12m,m} M_{22m}, \quad \delta_{22m} = \frac{a}{D} \sum_{n=1}^{\infty} (-)^n E'_{12m,n} M_{12m} + \frac{a}{D} A'_{12m} M_{22m} \\ \text{板③, } \delta_{13m} &= \frac{a}{D} A_{13m} M_{13m} + \frac{a}{D} \sum_{m=1}^{\infty} (-)^m E_{13m,m} M_{23m}, \quad \delta_{23m} = \frac{a}{D} \sum_{n=1}^{\infty} (-)^n E'_{13m,n} M_{13m} + \frac{a}{D} A'_{13m} M_{23m} \\ \text{板④, } \delta_{14m} &= \frac{a}{D} A_{14m} M_{14m} + \frac{a}{D} \sum_{m=1}^{\infty} (-)^m E_{14m,m} M_{24m} + \sum_{m=1}^{\infty} \frac{m\pi}{a} C_{14m}, \quad \delta_{24m} = \frac{a}{D} \sum_{n=1}^{\infty} (-)^n E'_{14m,n} M_{14m} + \frac{a}{D} A'_{14m} M_{24m} + \sum_{m=1}^{\infty} \frac{m\pi}{a} C_{14m} \end{aligned} \quad (22)$$

他方、節線 0-1, 0-2, 0-3, 0-4 および 1-2, 2-3, 3-4 における式(20), (21)の節線方程式および連続条件式を求むれば次の二とおりの条件式がえられる。

$$M_{11m} = -M_{12m} (=M_{13m}), \quad M_{21m} = -M_{22m} (=M_{23m}), \quad M_{13m} = -M_{23m} (=M_{14m}), \quad M_{24m} = -M_{14m} (=M_{23m}) \quad (23)$$

$$\delta_{12m} = \delta_{13m}, \quad \delta_{22m} = \delta_{23m}, \quad \delta_{14m} = \delta_{24m}$$

式(22), (23)より M_{An} , M_{Bn} , M_{Cm} , M_{Dm} に関する連立方程式が次式のとく求まる。

$$\left. \begin{aligned} & 2A_{(m)}M_{An} + \sum_{m=1}^{\infty} E_{(m,m)} \{ M_{Cm} + (-i)^m M_{Dm} \} + g_0 \alpha^2 \sum_{m=1}^{\infty} m\pi C'_{mn} = 0 \\ & 2A_{(m)}M_{Bn} + \sum_{m=1}^{\infty} (-i)^m E_{(m,m)} \{ M_{Cm} + (-i)^m M_{Dm} \} + g_0 \alpha^2 \sum_{m=1}^{\infty} (-i)^m m\pi C'_{mn} = 0 \\ & \sum_{m=1}^{\infty} E_{(m,m)} \{ M_{An} + (-i)^m M_{Bn} \} + 2A'_{(m)}M_{Cm} + g_0 \alpha^2 \sum_{m=1}^{\infty} n\pi C'_{mn} = 0 \\ & \sum_{m=1}^{\infty} (-i)^m E_{(m,m)} \{ M_{An} + (-i)^m M_{Bn} \} + 2A'_{(m)}M_{Dm} + g_0 \alpha^2 \sum_{m=1}^{\infty} (-i)^m n\pi C'_{mn} = 0 \end{aligned} \right\} \quad (24)$$

いま、振動数パラメータ $k = p/\omega_0$ の各値に対する、式(24)の連立方程式を解き、その結果を式(10)に代入すれば各の各値に対する \bar{w}_m がえられる。すなはち $\omega_0 = 2.0 \times \frac{\pi^2}{\alpha^2} \sqrt{\frac{D}{\rho h}}$ は図-2 に示すとく $\bar{w}_{k=1} = -0.1 \times 10^3 \times \frac{g_0 \alpha^2}{D}$ 連続板の第一次固有円振動数である。他方、図一式において荷重 k^* 、 k は二次固有円振動数が静的に作用する場合のためみを \bar{w}^* とする。しかも $R = \bar{w}/\bar{w}^*$ 図-3 を求めれば振動倍率がえられるが、特に各板の中央点 ($\xi = \eta = 0.5$) における R のみを算出し、图示すれば図-3 の結果となる。

次に、初期条件として $t = 0$ のとき $w = 0$ でなければならない $\bar{w}(t, \xi) = 0$ とすれば式(10)は次式のとくくなる。

$$w = w_0 (\cos \omega t - \cos \omega t) \quad (25)$$

したがって、先に求めた各の各値に対する \bar{w}_m の値を式(25)に代入し、板①, ④の中央点の過渡状態における3時刻とそれとの関係を求めれば、図-4 に示すとくとなる。(板②, ③については無視の都合上略す。)

4. 結語

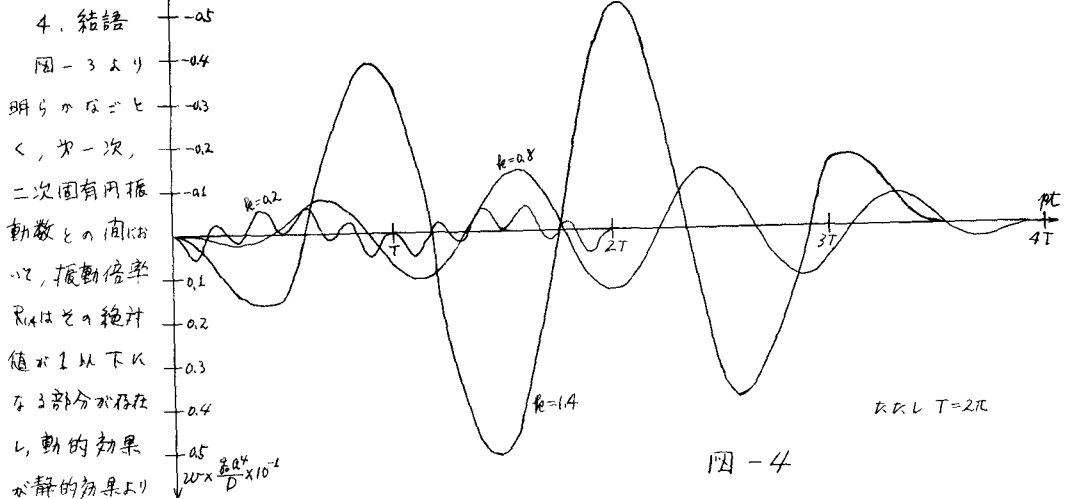


図-4

小さな k が、それ以外の部分では急速に変化し共振へ近づき、他方、 $R_{2,3}$ はその区间において常に動的効果が静的効果より大きくなり、共振から共振へと急速に移る傾向が認められる。

図-4 に示す過渡状態における各曲線は、固有円振動数に近い k の値 ($k=0.8, 1.4$) の場合には共振の瞬間に大きくなり、振幅がいったん増しては再び減るという形をしており、また k の値が小さな ($k=0.2$) 場合は自由振動に近い振動をするという当然の結果を示している。

- (参考文献) (1) 山崎・橋本・横田、連続矩形板の固有周期算定法、九大工学集報、第40巻、第5号 昭和42年1月
 (2) 井口、相対2辺が単純支承他の2辺が自由な3矩形板の振動について、土木学会論文集、第46巻、昭和42年4月